



UNIVERSITAS DIPONEGORO

**ANALISA PENGARUH PERUBAHAN PERBANDINGAN LAJU ALIR MASSA
(DESICCANT TERHADAP UDARA) DAN VARIABEL (KECEPATAN DAN
TEMPERATUR) UDARA TERHADAP LAJU HUMIDIFIKASI DALAM
REGENERATOR DENGAN COMPUTATIONAL FLUID DYNAMICS (CFD)**

TUGAS AKHIR

**LUTFI HAVIDZ KIRANTHO
L2E 005 460**

**FAKULTAS TEKNIK
PROGRAM STUDI TEKNIK MESIN**

**SEMARANG
MARET 2011**

TUGAS SARJANA

Diberikan kepada : Nama : Lutfi Havidz Kirantho
NIM : L2E 005 460

Dosen Pembimbing : Ir. Eflita Yohana, MT

Jangka Waktu : 12 (dua belas) bulan

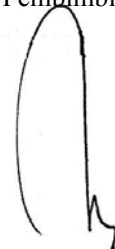
Judul : Analisa Pengaruh Perubahan Perbandingan Laju Alir Massa (*Desiccant* Terhadap Udara) dan Variabel (Kecepatan dan Temperatur) Udara Terhadap Laju Humidifikasi Dalam *Regenerator* Dengan *CFD*

Isi Tugas : Mengetahui Laju Humidifikasi Pada Regenerator

1. Mengetahui pengaruh dan perbandingan optimal dari perbandingan laju alir, perubahan variabel (temperatur dan kecepatan) udara dan *desiccant* terhadap laju humidifikasi *Regenerator*.
2. Mengetahui perbandingan laju humidifikasi terhadap laju alir massa udara.

Semarang, 24 Maret 2011

Dosen Pembimbing



Ir. Eflita Yohana, MT

NIP. 196204281990012001

HALAMAN PERNYATAAN ORISINALITAS

**Skripsi/Tesis/Disertasi ini adalah hasil karya saya sendiri,
dan semua sumber baik yang dikutip maupun yang dirujuk
telah saya nyatakan dengan benar.**

NAMA : Lutfi Havidz Kirancho

NIM : L2E 005 460

Tanda Tangan :

Tanggal : 24 Maret 2011

HALAMAN PENGESAHAN

Skripsi ini diajukan oleh :
NAMA : Lutfi Havidz Kirantho
NIM : L2E 005 460
Jurusan/Program Studi : Teknik Mesin
Judul Skripsi : Analisa Pengaruh Perubahan Perbandingan Laju Alir Massa
(Desiccant Terhadap Udara) dan Variabel (Kecepatan dan Temperatur) Udara Terhadap Laju Humidifikasi Dalam Regenerator Dengan CFD

Telah berhasil dipertahankan di hadapan Tim Penguji dan diterima sebagai bagian persyaratan yang diperlukan untuk memperoleh gelar Sarjana Teknik pada Jurusan/Program Studi Teknik Mesin, Fakultas Teknik, Universitas Diponegoro.

TIM PENGUJI

Pembimbing I : Ir. Eflita Yohana, MT
Penguji : Ir. Djoeli Satridjo, MT
Penguji : Dr. AP. Bayuseno, MSc
Penguji : Dr. MSK. Tony Suryo Utomo, ST, MT



Semarang, Maret 2011

Jurusan Teknik Mesin

Ketua,



Dr. Ir. Dipl. Ing. Berkah Fadjar TK
NIP. 195907221987031003

**HALAMAN PERNYATAAN PERSETUJUAN PUBLIKASI
TUGAS AKHIR UNTUK KEPENTINGAN AKADEMIS**

Sebagai sivitas akademika Universitas Diponegoro, saya yang bertanda tangan di bawah ini :

Nama : LUTFI HAVIDZ KIRANTHO

NIM : L2E 005 460

Jurusan/Program Studi : TEKNIK MESIN

Fakultas : TEKNIK

Jenis Karya : SKRIPSI

Demi pengembangan ilmu pengetahuan, menyetujui untuk memberikan kepada Universitas Diponegoro **Hak Bebas Royalti Noneksklusif** (*None-exclusive Royalty Free Right*) atas karya ilmiah saya yang berjudul :

Analisa Pengaruh Perubahan Perbandingan Laju Alir Massa (*Desiccant* Terhadap Udara) dan Variabel (Kecepatan dan Temperatur) Udara Terhadap Laju Humidifikasi Dalam Regenerator Dengan CFD

beserta perangkat yang ada (jika diperlukan). Dengan Hak Bebas Royalti/Noneksklusif ini Universitas Diponegoro berhak menyimpan, mengalihmedia/formatkan, mengelola dalam bentuk pangkalan data (*database*), merawat dan memublikasikan tugas akhir saya selama tetap mencantumkan nama saya sebagai penulis/pencipta dan sebagai pemilik Hak Cipta.

Demikian pernyataan ini saya buat dengan sebenarnya.

Dibuat di : Semarang

Pada Tanggal : 24 Maret 2011

Yang menyatakan,

(LUTFI HAVIDZ K)
NIM: L2E 005

ABSTRAKSI

Dehumidifier dan *Regenerator* merupakan komponen penting dalam sistem pengkondisian udara *liquid desiccant*. Pada Proses dehumidifikasi dalam *dehumidifier*, *desiccant* mengalami penurunan konsentrasi akibat penyerapan uap air dari udara. Untuk mengembalikan konsentrasi *desiccant* digunakan *regenerator* untuk proses regenerasi. Proses regenerasi akan mengembalikan konsentrasi *desiccant* ke kondisi semula yang disertai dengan kenaikan temperatur serta kelembaban udara akibat terjadinya evaporasi dari *liquid desiccant*. Penelitian menggunakan simulasi *software* komputasi fluida dinamik (*CFD*) *FLUENT 6.3* dengan variasi laju alir desiccant 0,01 – 0,05 kg/s pada tempertur 60 °C dan variasi udara dengan kecepatan 5 – 13 m/s pada temperatur 30 – 40 °C.

Hasil simulasi menunjukkan, dengan perbandingan laju alir antara udara dan desiccant yang sama, transfer massa(penambahan kelembaban desiccant terhadap udara) terbesar terjadi pada kecepatan udara 5 m/s dan temperatur udara 40 °C, laju humidifikasi equal dengan besarnya laju aliran massa.

Kata kunci : *dehumidifier*, *regenerator*, *desiccant*

ABSTRACT

Dehumidifier and regenerator is an important component in liquid desiccant air conditioning system. In the process dehumidification in dehumidifier, desiccant concentration decreased due to absorption of moisture from the air. To restore the concentration of desiccant used the regenerator for regeneration. The regeneration of desiccant concentration will be return to original state is accompanied by a rise in temperature and air humidity due to evaporation of the liquid desiccant. The research uses computational fluid dynamic simulation software (CFD) FLUENT 6.3 with desiccant flow rate variation from 0.01 to 0.05 kg / s at temperature 60 °C and the variation of the air with speed 5-13 m / s at temperature of 30-40 °C.

Simulations show, in the same time with a flow rate ratio between air and desiccant, mass transfer (the addition of desiccant to air humidity), the largest occur at air velocity 5 m / s and air temperature 40 °C, humidification rate equal to the size of the mass flow rate.

Key words : dehumidifier, regenerator, desiccant

KATA PENGANTAR

Segala puji syukur senantiasa penulis panjatkan kepada Allah S.W.T, karena berkat rahmat-Nya, penulis dapat menyelesaikan laporan tugas akhir ini dengan judul “Analisa Pengaruh Perubahan Perbandingan Laju Alir Massa (*Desiccant* Terhadap Udara) dan Variabel (Kecepatan dan Temperatur) Udara Terhadap Laju Humidifikasi Dalam *Regenerator* Dengan *Computational Fluid Dynamics (CFD)*”. Tugas akhir ini merupakan salah satu syarat yang harus dipenuhi pada program strata satu (S1) di Jurusan Teknik Mesin, Fakultas Teknik, Universitas Diponegoro Semarang.

Pada kesempatan ini penulis ingin mengucapkan terima kasih atas bimbingan, bantuan, serta dukungan kepada :

1. Ir. Eflita Yohana, MT, selaku Dosen Pembimbing Tugas Akhir.
2. Dr. MSK. Tony Suryo Utomo, ST, MT, selaku Dosen Koordinator Tugas Akhir.
3. Teman-teman mahasiswa Teknik Mesin angkatan 2005 yang telah banyak membantu penulis baik secara moril, maupun materiil.

Dalam penulisan tugas akhir ini penulis menyadari banyak kekurangan. Oleh karena itu segala kritik yang bersifat membangun akan diterima dengan senang hati untuk kemajuan bersama. Akhir kata penulis berharap semoga laporan tugas akhir ini dapat memberikan manfaat kepada siapa saja yang membutuhkan data maupun referensi yang ada dalam laporan ini.

Terima kasih.

Semarang, 24 Maret 2011

Penulis

PERSEMBAHAN

Kupersembahkan Tugas Sarjana ini kepada Keluarga Tercinta

1. *Ibu* : *Sri Maryani*
2. *Bapak* : *Nooryanto*
3. *Kakak* : *Ivan Norma Susila*
4. *Adik* : *Normalia Ulfah Khasanah*

DAFTAR ISI

| | |
|---|------|
| HALAMAN JUDUL | i |
| TUGAS SARJANA | ii |
| HALAMAN PERNYATAAN ORISINALITAS | iii |
| HALAMAN PENGESAHAN | iv |
| HALAMAN PERNYATAAN PERSETUJUAN PUBLIKASI | v |
| ABSTRAKSI | vi |
| ABSTRACT | vii |
| KATA PENGANTAR | viii |
| HALAMAN PERSEMBAHAN | ix |
| DAFTAR ISI | x |
| DAFTAR GAMBAR | xiii |
| DAFTAR TABEL | xvi |
| NOMENKLATUR | xvii |

BAB I PENDAHULUAN

| | |
|----------------------------------|---|
| 1.1. Latar Belakang | 1 |
| 1.2. Rumusan Masalah | 2 |
| 1.3. Batasan Masalah..... | 3 |
| 1.4. Tujuan Penelitian..... | 3 |
| 1.5. Metodologi Penelitian | 3 |
| 1.6. Sistematika Penulisan..... | 4 |

BAB II TINJAUAN PUSTAKA

| | | |
|--------|--|----|
| 2.1. | Transfer Massa | 6 |
| 2.2. | Humidifikasi dan Dehumidifikasi | 7 |
| 2.2.1. | Proses Humidifikasi Adiabatis | 7 |
| 2.2.2. | <i>Dehumidifier dan Regenerator</i> | 8 |
| 2.3. | Model Matematika Perpindahan Massa | 14 |
| 2.4. | Volume Kendali | 15 |
| 2.5. | Volume Kendali Pada Kontinuitas, Energi dan Momentum | 17 |
| 2.6. | Diagram Psikometri..... | 19 |
| 2.7. | Proses – Proses Dalam Udara dan Diagram Psikometri..... | 25 |
| 2.8. | Pepindahan Kalor Sensibel dan Kalor Laten Pada Permukaan Basah | 28 |
| 2.9. | Cara mengurangi Kelembaban Relatif | 31 |
| 2.10. | Kriteria kondisi udara sehat dan nyaman | 32 |
| 2.11. | <i>Sorbent</i> | 33 |
| 2.7.1. | <i>Absorbent</i> | 34 |
| 2.7.2. | <i>Adsorbent</i> | 37 |

BAB III DASAR METODA VOLUMA HINGGA FLUENT 6.3

| | | |
|--------|------------------------------------|----|
| 3.1. | Sekilas Tentang FLUENT | 38 |
| 3.2. | Skema Numerik | 38 |
| 3.2.1. | Metode <i>Segregated</i> | 39 |
| 3.2.2. | Metode Solusi <i>Coupled</i> | 40 |
| 3.3. | Diskretisasi | 41 |
| 3.3.1. | <i>Fist-Order Upwind</i> | 43 |
| 3.3.2. | <i>Second-Order Upwind</i> | 43 |
| 3.3.3. | <i>Power-Law</i> | 44 |
| 3.3.4. | Bentuk Persamaan Diskret | 45 |

| | |
|--|----|
| 3.3.5 <i>Under-Relaxation Factor</i> | 46 |
| 3.4. Diskretisasi <i>Segregated Solver</i> | 46 |
| 3.4.1. Diskretisasi Persamaan Momentum | 47 |
| 3.4.2. Skema Interpolasi Tekanan | 47 |
| 3.4.3. Diskretisasi Persamaan Kontinuitas | 48 |
| 3.4.4. <i>Pressure-Velocity Coupling</i> | 49 |
| 3.5. Diskretisasi Waktu | 53 |
| 3.5.1. Integrasi Waktu Implisit..... | 54 |
| 3.5.2. Integrasi Waktu eksplisit..... | 55 |
| 3.6. Jenis Grid | 55 |
| 3.7. Kualitas Mesh..... | 55 |
| 3.7.1. Kerapatan Nodal..... | 56 |
| 3.7.2. Kehalusan..... | 56 |
| 3.7.3. Bentuk Cel..... | 57 |

BAB IV SIMULASI NUMERIK FLUENT 6.3

| | |
|--|----|
| 4.1. Model <i>Regenerator</i> | 58 |
| 4.2. Proses Simulasi | 58 |
| 4.3. Simulasi <i>Regenerator</i> | 62 |
| 4.3.1. Pembentukan Model..... | 62 |
| 4.3.2. Pembuatan <i>Mesh</i> | 62 |
| 4.3.3. Kondisi Batas | 63 |
| 4.3.4. Definisi Model..... | 64 |
| 4.3.5. Kondisi Batas | 68 |
| 4.3.6. Solusi..... | 69 |

BAB V HASIL DAN PEMBAHASAN

| | |
|---|----|
| 5.1. Hasil Penelitian | 70 |
| 5.2. Pembahasan..... | 78 |
| 5.3. Karakteristik Operasi <i>Regenerator</i> | 82 |

BAB VI PENUTUP

| | |
|-----------------------|----|
| 6.1. Kesimpulan | 90 |
| 6.2. Saran..... | 90 |

DAFTAR PUSTAKA**LAMPIRAN**

DAFTAR GAMBAR

| | | |
|--------------|---|----|
| Gambar 2.1. | Prinsip dasar proses humidifikasi dan dehumidifikasi | 7 |
| Gambar 2.2. | Prinsip proses humidifikasi adiabatis | 8 |
| Gambar 2.3. | Instalasi sistem <i>dehumidifier</i> | 10 |
| Gambar 2.4. | Sistem <i>regenerator</i> | 10 |
| Gambar 2.5. | Packed tower..... | 10 |
| Gambar 2.6. | Random Packing | 12 |
| Gambar 2.7. | Regular Packing..... | 12 |
| Gambar 2.8. | Distribusi aliran <i>desiccant</i> | 12 |
| Gambar 2.9. | <i>Eliminator</i> | 13 |
| Gambar 2.10. | Jenis-jenis aliran dalam <i>dehumidifier</i> dan <i>regenerator</i> (a) parallel flow. (b) counter flow (c) cross flow..... | 13 |
| Gambar 2.11. | Difermsiasi dari permukaan temu | 14 |
| Gambar 2.12. | Sistem dengan Volume kendali..... | 16 |
| Gambar 2.13. | Diagram psikometri..... | 20 |
| Gambar 2.14. | Skematis diagram psikometri | 21 |
| Gambar 2.15. | Rasio kelembaban W sebagai ordinat lain | 22 |
| Gambar 2.16. | Garis kelembaban relatif..... | 23 |
| Gambar 2.17. | Garis Jenuh | 23 |
| Gambar 2.18. | Garis volume spesifik konstan | 24 |
| Gambar 2.19. | Garis entalpi konstan..... | 25 |
| Gambar 2.20. | Proses-proses pengkondisian udara..... | 25 |
| Gambar 2.21. | Pemanasan dan pendinginan sensibel..... | 26 |
| Gambar 2.22. | Proses pelembaban udara | 26 |
| Gambar 2.23. | Proses pendinginan dan penurunan kelembaban..... | 27 |
| Gambar 2.24. | Proses penurunan kelembaban kimiawi | 27 |
| Gambar 2.25. | (a) Skema proses pencampuran, (b) Proses pencampuran pada Grafik psikometri | 28 |
| Gambar 2.26. | Perpindahan kalor dan massa antara udara dan permukaan basah | 29 |
| Gambar 2.27. | Empat langkah berbeda untuk menurunkan kelembaban relatif dari | |

| | |
|---|----|
| uap air. (a) Penurunan dengan udara kering, (b) Mengeringkan dengan <i>sorbent</i> , (c) Refrigeresi dehumidifikasi, (d) Pemanasan | 32 |
| Gambar 2.28. Kondisi nyaman udara pada diagram psikometri | 33 |
| Gambar 2.29. Iustrasi diagramatik dari tiga komponen <i>liquid sorbent dehumidifier</i> : penyemprot <i>dehumidifier</i> , pompa <i>sorbent</i> dan <i>regenerator</i> | 35 |
| Gambar 2.30. Karakteristik temperatur-kesetimbangan titik embun untuk <i>absorbent</i> jenis organik | 36 |
| Gambar 2.31. Karakteristik temperatur-kesetimbangan titik embun untuk <i>absorbent</i> jenis inorganik | 37 |
| Gambar 2.32. (a) absorbent, (b) adsorbent..... | 37 |
| Gambar 3.1 Skema solusi <i>segregated</i> | 40 |
| Gambar 3.2 Skema solusi <i>coupled</i> | 41 |
| Gambar 3.3 Volume kendali diskritisasi persamaan transpor scalar | 42 |
| Gambar 3.4 Variasi variable ϕ antara $x = 0$ and $x = L$ | 45 |
| Gambar 4.1 Model <i>regenerator struktur packed</i> | 58 |
| Gambar 4.2 Diagram Alir <i>Preprocessing</i> | 59 |
| Gambar 4.3 Diagram Alir <i>Solving</i> | 61 |
| Gambar 4.4 <i>Regenerator</i> | 62 |
| Gambar 4.5 Grid <i>Tri</i> pada Domain <i>Regenerator</i> | 63 |
| Gambar 4.6 Viskos..... | 64 |
| Gambar 4.7 Energi | 64 |
| Gambar 4.8 Model <i>Spesies Transport</i> | 65 |
| Gambar 4.9 Model <i>Discrete Phase</i> | 65 |
| Gambar 4.10 Model <i>injection</i> | 66 |
| Gambar 4.11 Panel Pendefinisian Material..... | 67 |
| Gambar 4.12 Panel kondisi operasi..... | 67 |
| Gambar 5.1 Perbandingan mass transfer pada temperature udara 30 °C | 76 |
| Gambar 5.2 Perbandingan mass transfer pada temperature udara 32 °C | 77 |
| Gambar 5.3 Perbandingan mass transfer pada temperature udara 34 °C | 77 |
| Gambar 5.4 Perbandingan mass transfer pada temperature udara 36 °C | 77 |

| | | |
|--------------|---|----|
| Gambar 5.5. | Perbandingan mass transfer pada temperature udara 38 °C | 78 |
| Gambar 5.6. | Perbandingan mass transfer pada temperature udara 40 °C | 78 |
| Gambar 5.7. | Grafik <i>experiment</i> Nelson Fumo dan D. Y. Goswami | 79 |
| Gambar 5.8. | Grafik fluks massa dan m_{evap} hasil simulasi | 81 |
| Gambar 5.9. | Grafik <i>experiment</i> Nelson Fumo dan D. Y. Goswami dan simulasi | 81 |
| Gambar 5.10. | Grafik <i>experiment</i> Nelson Fumo dan D. Y. Goswami | 81 |
| Gambar 5.11. | Grafik laju humidifikasi dan temperatur pada simulasi | 82 |
| Gambar 5.12. | Hubungan antara bilangan Reynold dan Sherwood M.G. Mousa | 83 |
| Gambar 5.13. | Hubungan antara bilangan Reynold dan Sherwood | 84 |
| Gambar 5.14. | Bilangan Reynold dan Nusselt Witchayanuwat dan Kheawhom | 84 |
| Gambar 5.15. | Bilangan Reynold dan Nusselt Witchayanuwat dan Kheawhom | 85 |
| Gambar 5.16. | Hubungan antara bilangan Reynolds dan Nusselt | 85 |
| Gambar 5.17. | Hubungan antara bilangan Nusselt dan Sherwood | 86 |
| Gambar 5.18. | Aliran Turbulen Pada Simulasi | 87 |
| Gambar 5.19. | Profil Kecepatan Udara Pada Simulasi | 87 |
| Gambar 5.20. | Profil Temperatur Pada Simulasi | 88 |
| Gambar 5.21. | Profil <i>single spray desiccant</i> Pada Simulasi | 88 |
| Gambar 5.22. | Profil kontinu <i>spray desiccant</i> Pada Simulasi | 89 |

DAFTAR TABEL

| | | |
|--------------|--|----|
| Gambar 4.13. | Tipe Kondisi Batas | 63 |
| Gambar 4.14. | Kondisi Batas dan Variasi Udara | 68 |
| Gambar 4.15. | Kondisi Batas dan Variasi <i>Desiccant</i> | 69 |
| Tabel 5.1. | <i>Mass Transfer</i> pada variasi kecepatan udara 5 m/s | 70 |
| Tabel 5.2. | <i>Mass Transfer</i> pada variasi kecepatan udara 7 m/s | 71 |
| Tabel 5.3. | <i>Mass Transfer</i> pada variasi kecepatan udara 9 m/s | 72 |
| Tabel 5.4. | <i>Mass Transfer</i> pada variasi kecepatan udara 11 m/s | 74 |
| Tabel 5.5. | <i>Mass Transfer</i> pada variasi kecepatan udara 13 m/s | 75 |
| Tabel 5.6. | Laju Humidifikasi Simulasi | 80 |
| Tabel 5.7. | Laju Humidifikasi Terhadap Temperatur | 82 |
| Tabel 5.8. | Bilangan Reynold dan Sherwood | 83 |
| Tabel 5.9. | Bilangan Reynold dan Nusselt | 85 |
| Tabel 5.10. | Bilangan Nusselt dan Sherwood | 86 |

| Nomenklatur | Definisi | Satuan |
|--------------|-----------------------------------|--|
| t | Temperatur | °C, K |
| T | Temperatur | °C, K |
| T_{db} | Temperatur bola kering | °C |
| T_{wb} | Temperatur bola basah | °C |
| T_{dp} | Temperatur titik embun | °C |
| $T_{sat@Pv}$ | Temperatur saturasi tekanan jenuh | °C |
| c_p | Panas Spesifik | J/kgK |
| c_{pm} | Panas Spesifik Udara basah | J/kgK |
| h | Entalpi | kJ/kg |
| h_{fg} | Entalpi uap air | kJ/kg |
| h_g | Entalpi udara kering | kJ/kg |
| h_c | Koefisien Panas Konveksi | W/m ² K |
| h_D | Tetapan Kesetimbangan | kg/m ² |
| v_{sp} | Volume spesifik (udara) lembab | m ³ /kg |
| g | Rasio kelembaban | kg _{uap} /kg _{udara} |
| W | Rasio kelembaban | kg _{uap} /kg _{udara} |
| V | Kecepatan aliran udara | m/s |
| m | Massa <i>desiccant</i> | g |
| X | Konsentrasi <i>desiccant</i> | % |
| V | Kecepatan | (m/s) |

| | | |
|-------------------|---------------------------------------|---|
| m_{evap} | Laju evaporasi | (g/s) |
| w | Laju Aliran massa | kg/s |
| q_s | Laju Perpindahan Panas Sensibel | W |
| A | Luas Permukaan | m^2 |
| R_a | Tetapan gas untuk udara kering | J/kgK |
| R_s | Tetapan gas untuk uap air | J/kgK |
| P_t | Tekanan atmosferik | Pa |
| P_a | Tekanan parsial udara kering | Pa |
| P_s | Tekanan parsial uap air keadaan jenuh | Pa |
| C | Laju kapasitas panas | $\text{kW}/\text{m}^2 \text{ }^\circ\text{C}$ |
| G | Fluks massa | $\text{kg}/\text{m}^2 \text{s}$ |
| q'' | Fluks panas | kW/m^2 |
| d_h | Diameter Hidraulik | m |
| Re | Reynold <i>number</i> | |
| Sh | Sherwood <i>number</i> | |
| Nu | Nusselt <i>number</i> | |

| <i>Greek Symbols</i> | Definisi | Satuan |
|----------------------|-------------------------------|---|
| α | Perbandingan beda tekanan uap | |
| β | Perbandingan beda temperatur | |
| φ | Kelembaban relatif | % |
| ω | Rasio kelembaban | $\text{kg}_{\text{uap}}/\text{kg}_{\text{udara}}$ |
| Δ | Selisih Rasio kelembaban | $\text{g}_{\text{uap}}/\text{kg}_{\text{udara}}$ |
| ξ | Konsentrasi <i>desiccant</i> | % |

| <i>Subscripts</i> | Definisi |
|-------------------|-----------------------------|
| a | Udara |
| s | <i>Desiccant (solution)</i> |
| evap | Evaporasi (humidifikasi) |
| db | <i>Dry Bulb</i> |
| wb | <i>Wet Bulb</i> |
| dp | <i>Dew Point</i> |
| i | Inlet |
| o | Outlet |

